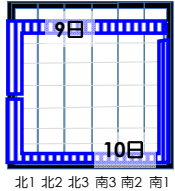

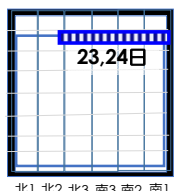


1、3号機飛散防止剤散布実績及び予定

4.作業時散布の実績及び予定（1号機）

									当該週の散布範囲
10月	日	25（日）	26（月）	27（火）	28（水）	29（木）	30（金）	31（土）	—
	散布対象作業	—	—	—	—	—	—	—	
	散布面積合計（m2）	—	—	—	—	—	—	—	
	平均散布量（L/m2・回）	—	—	—	—	—	—	—	
	連続ダストモニタの計測値（Bq/cm3）※1	6.33E-5（最大） ND（最小）	6.44E-5（最大） ND（最小）	7.45E-5（最大） ND（最小）	8.57E-5（最大） ND（最小）	6.90E-5（最大） ND（最小）	1.19E-4（最大） ND（最小）	1.26E-4（最大） ND（最小）	
11月	日	1（日）	2（月）	3（火）	4（水）	5（木）	6（金）	7（土）	—
	散布対象作業	—	—	—	—	—	—	—	
	散布面積合計（m2）	—	—	—	—	—	—	—	
	平均散布量（L/m2・回）	—	—	—	—	—	—	—	
	連続ダストモニタの計測値（Bq/cm3）※1	8.87E-5（最大） ND（最小）	8.59E-5（最大） ND（最小）	9.28E-5（最大） ND（最小）	8.79E-5（最大） ND（最小）	5.20E-5（最大） ND（最小）	7.62E-5（最大） ND（最小）	6.62E-5（最大） ND（最小）	
	日	8（日）	9（月）	10（火）	11（水）	12（木）	13（金）	14（土）	
	散布対象作業	—	支障鉄骨撤去 鉄骨	支障鉄骨撤去 鉄骨	—	—	—	—	
	散布面積合計（m2）	—	424	763	—	—	—	—	
	平均散布量（L/m2・回）	—	2.1	2.1	—	—	—	—	
	連続ダストモニタの計測値（Bq/cm3）※1	9.44E-5（最大） ND（最小）	8.02E-5（最大） ND（最小）	6.24E-4（最大） ND（最小）	1.14E-4（最大） ND（最小）	1.04E-4（最大） ND（最小）	8.56E-5（最大） ND（最小）	8.15E-5（最大） ND（最小）	
	日	15（日）	16（月）	17（火）	18（水）	19（木）	20（金）	21（土）	
	散布対象作業	—	—	—	—	支障鉄骨撤去 鉄骨	支障鉄骨撤去 鉄骨	支障鉄骨撤去 鉄骨	
	散布面積合計（m2）	—	—	—	—	7	14	14	
	平均散布量（L/m2・回）	—	—	—	—	11.5	11.4	11.5	
	連続ダストモニタの計測値（Bq/cm3）※1	4.36E-4（最大） ND（最小）	1.12E-4（最大） ND（最小）	8.71E-5（最大） ND（最小）	1.07E-4（最大） ND（最小）	8.71E-5（最大） ND（最小）	1.58E-4（最大） ND（最小）	2.20E-4（最大） ND（最小）	
	日	22（日）	23（月）	24（火）	25（水）	26（木）	27（金）	28（土）	
	散布対象作業	—	支障鉄骨撤去 鉄骨	支障鉄骨撤去 鉄骨	支障鉄骨撤去 鉄骨	支障鉄骨撤去 鉄骨	支障鉄骨撤去 鉄骨	支障鉄骨撤去 鉄骨	
	散布面積合計（m2）	—	17.5	14	—	—	—	—	
	平均散布量（L/m2・回）	—	12	15.1	—	—	—	—	
	連続ダストモニタの計測値（Bq/cm3）※1	1.47E-4（最大） ND（最小）	1.27E-4（最大） ND（最小）	1.49E-4（最大） ND（最小）	—（最大） —（最小）	—（最大） —（最小）	—（最大） —（最小）	—（最大） —（最小）	
12月	日	29（日）	30（月）	1（火）	2（水）	3（木）	4（金）	5（土）	—
	散布対象作業	—	支障鉄骨撤去 鉄骨	支障鉄骨撤去 鉄骨	支障鉄骨撤去 鉄骨	支障鉄骨撤去 鉄骨	支障鉄骨撤去 鉄骨	支障鉄骨撤去 鉄骨	
	散布面積合計（m2）	—	—	—	—	—	—	—	
	平均散布量（L/m2・回）	—	—	—	—	—	—	—	
	連続ダストモニタの計測値（Bq/cm3）※1	—（最大） —（最小）	—（最大） —（最小）	—（最大） —（最小）	—（最大） —（最小）	—（最大） —（最小）	—（最大） —（最小）	—（最大） —（最小）	

※1 表記の連続ダストモニタ計測値は速報値、ND=検出限界値（6.0E-7）未満を示す

1、3号機飛散防止剤散布実績及び予定

東京電力株式会社
2015年12月10日

4.作業時散布の実績及び予定（1号機）

								当該週の散布範囲	
11月	日	22（日）	23（月）	24（火）	25（水）	26（木）	27（金）	28（土）	<div> <div>PN</div> <div>23,24,25,28日</div> <div>北1 北2 北3 南3 南2 南1</div> </div>
	散布対象作業	—	支障鉄骨撤去	支障鉄骨撤去	支障鉄骨撤去	—	—	支障鉄骨撤去	
			鉄骨	鉄骨	鉄骨			鉄骨	
	散布面積合計（m2）	—	17.5	14	3.5	—	—	75	
	平均散布量（L/m2・回）	—	12	15.1	14.5	—	—	4.1	
11月	連続ダストモニタの計測値（Bq/cm3）※1	1.47E-4（最大） ND（最小）	1.27E-4（最大） ND（最小）	1.49E-4（最大） ND（最小）	1.82E-4（最大） ND（最小）	1.55E-4（最大） ND（最小）	9.78E-5（最大） ND（最小）	1.11E-4（最大） ND（最小）	—
	日	29（日）	30（月）	1（火）	2（水）	3（木）	4（金）	5（土）	
	散布対象作業	—	—	—	—	—	—	—	
	散布面積合計（m2）	—	—	—	—	—	—	—	
	平均散布量（L/m2・回）	—	—	—	—	—	—	—	
12月	連続ダストモニタの計測値（Bq/cm3）※1	1.40E-4（最大） ND（最小）	1.19E-4（最大） ND（最小）	1.33E-4（最大） ND（最小）	2.04E-4（最大） ND（最小）	1.21E-4（最大） ND（最小）	1.50E-4（最大） ND（最小）	1.21E-4（最大） ND（最小）	—
	日	6（日）	7（月）	8（火）	9（水）	10（木）	11（金）	12（土）	
	散布対象作業	—	—	—	—	支障鉄骨撤去 鉄骨	—	—	
	散布面積合計（m2）	—	—	—	—	—	—	—	
	平均散布量（L/m2・回）	—	—	—	—	—	—	—	
12月	連続ダストモニタの計測値（Bq/cm3）※1	1.17E-4（最大） ND（最小）	9.06E-5（最大） ND（最小）	1.02E-4（最大） ND（最小）	—（最大） —（最小）	—（最大） —（最小）	—（最大） —（最小）	—（最大） —（最小）	—
	日	13（日）	14（月）	15（火）	16（水）	17（木）	18（金）	19（土）	
	散布対象作業	—	—	—	—	支障鉄骨撤去 鉄骨	—	—	
	散布面積合計（m2）	—	—	—	—	—	—	—	
	平均散布量（L/m2・回）	—	—	—	—	—	—	—	
12月	連続ダストモニタの計測値（Bq/cm3）※1	—（最大） —（最小）	—（最大） —（最小）	—（最大） —（最小）	—（最大） —（最小）	—（最大） —（最小）	—（最大） —（最小）	—（最大） —（最小）	—
	日	20（日）	21（月）	22（火）	23（水）	24（木）	25（金）	26（土）	
	散布対象作業	—	—	—	—	—	—	—	
	散布面積合計（m2）	—	—	—	—	—	—	—	
	平均散布量（L/m2・回）	—	—	—	—	—	—	—	
12月	連続ダストモニタの計測値（Bq/cm3）※1	—（最大） —（最小）	—（最大） —（最小）	—（最大） —（最小）	—（最大） —（最小）	—（最大） —（最小）	—（最大） —（最小）	—（最大） —（最小）	—

※1 表記の連続ダストモニタ計測値は速報値、ND=検出限界値（6.0E-7）未滿を示す

平成27年12月9日時点